





Figure 2

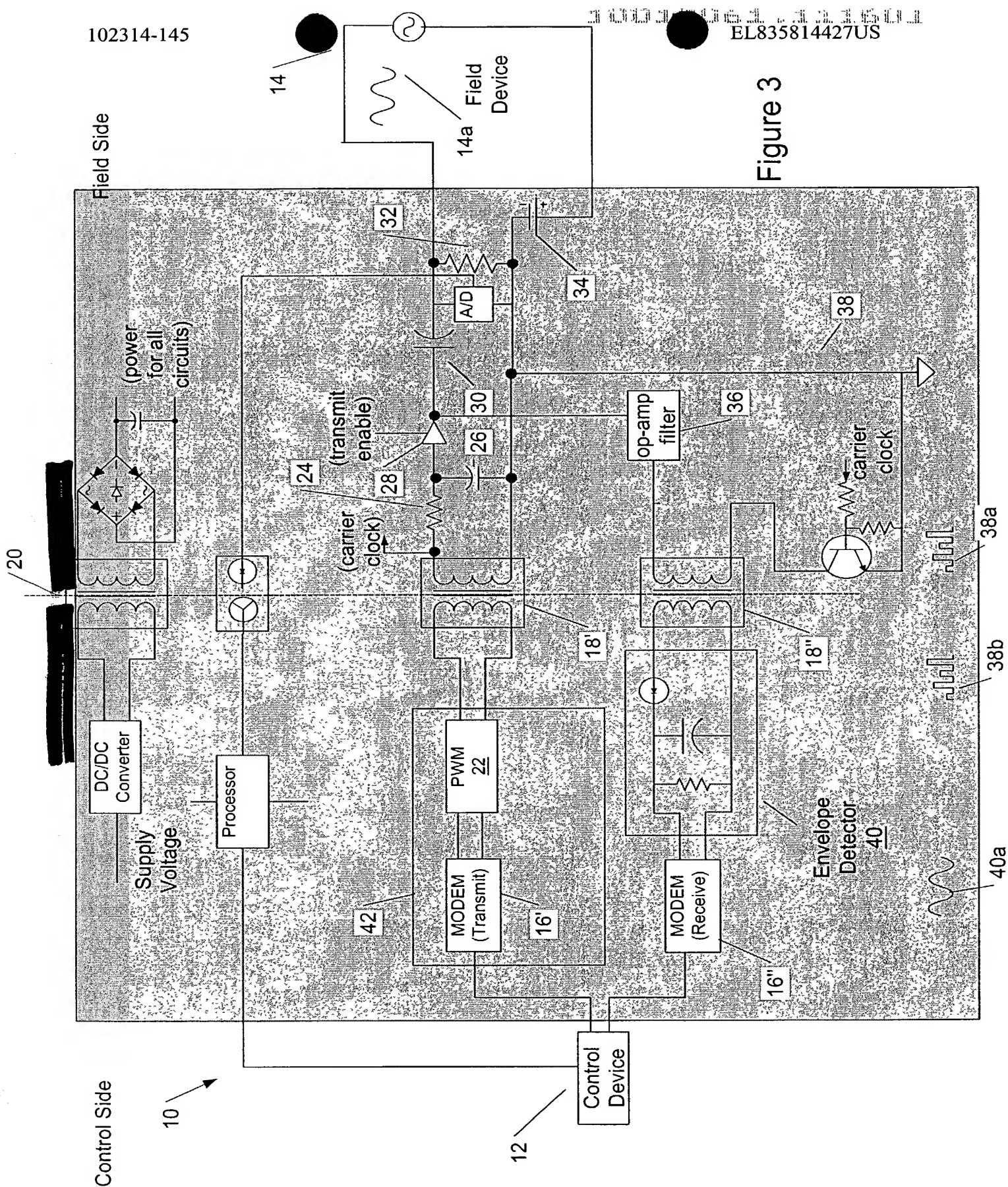


Figure 3

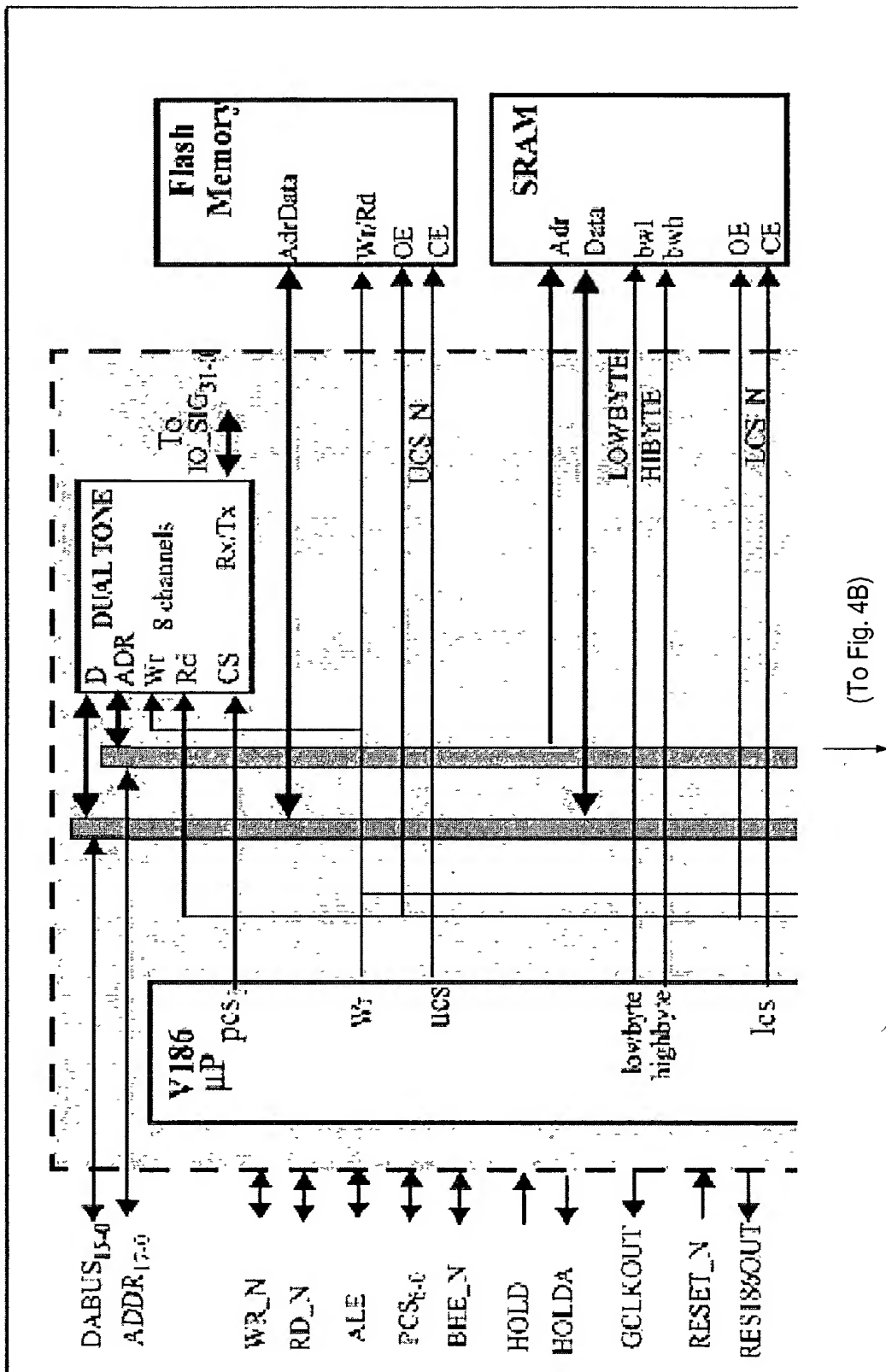


Fig. 4A

(To Fig. 4B)

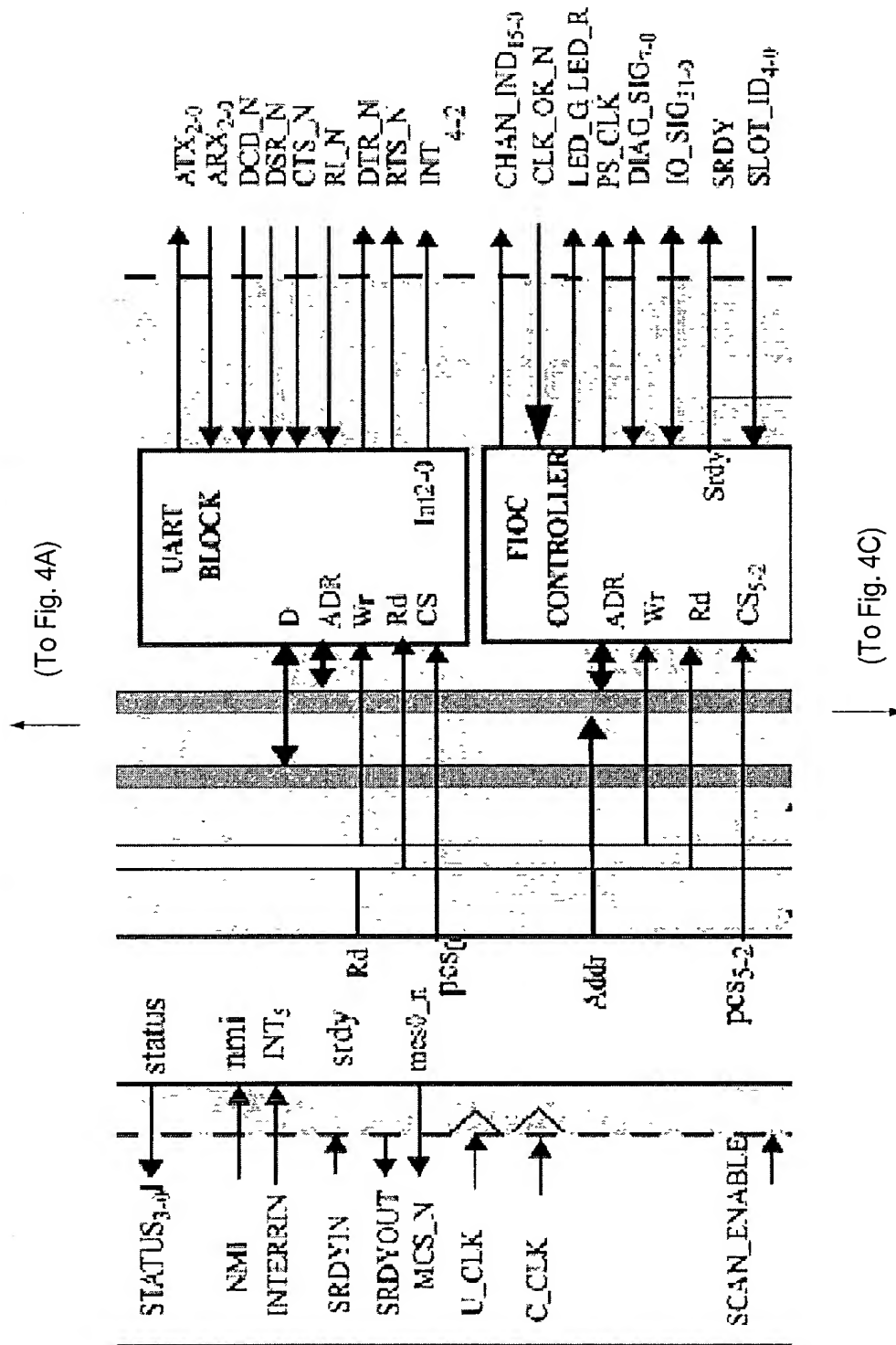


Fig. 4B

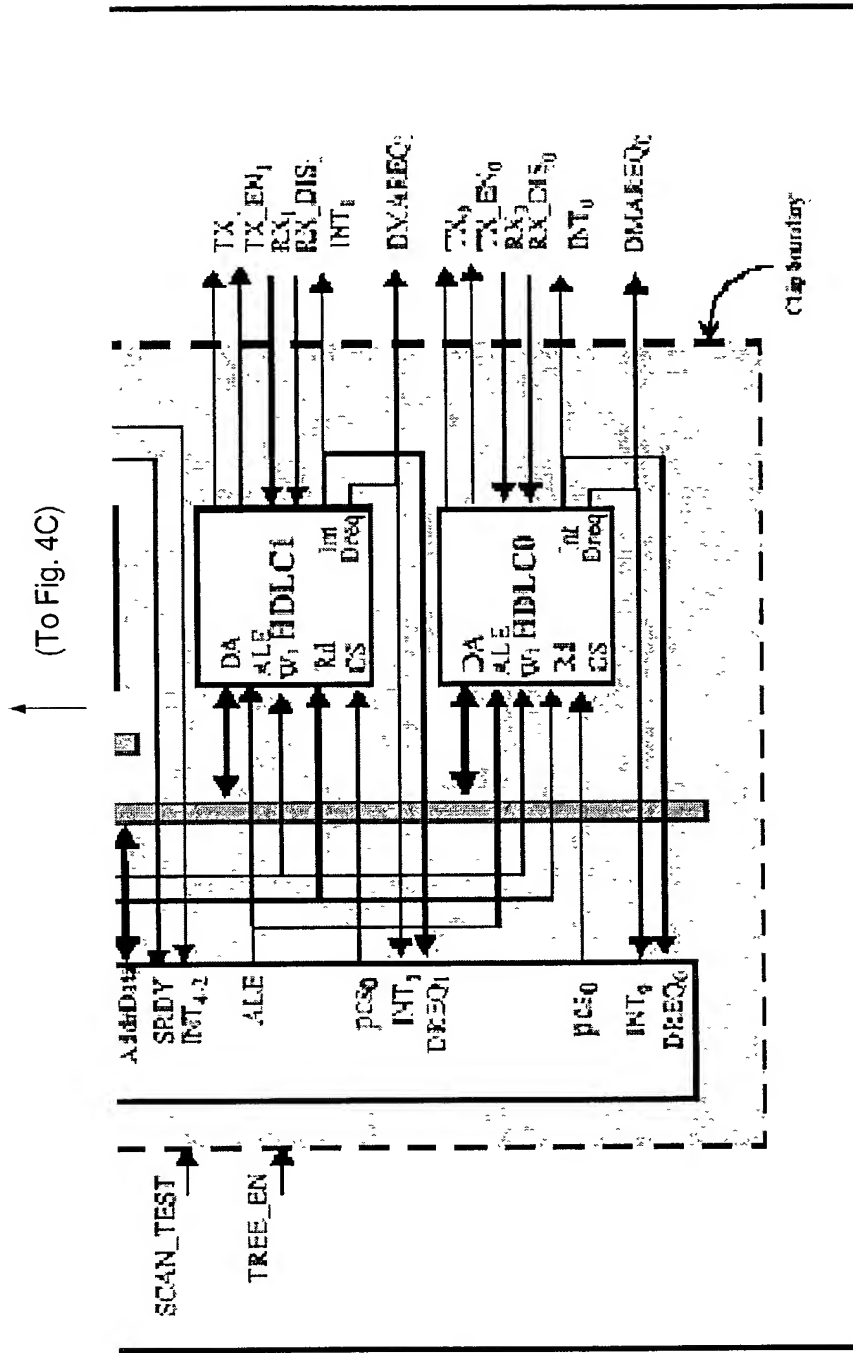


Fig. 4C

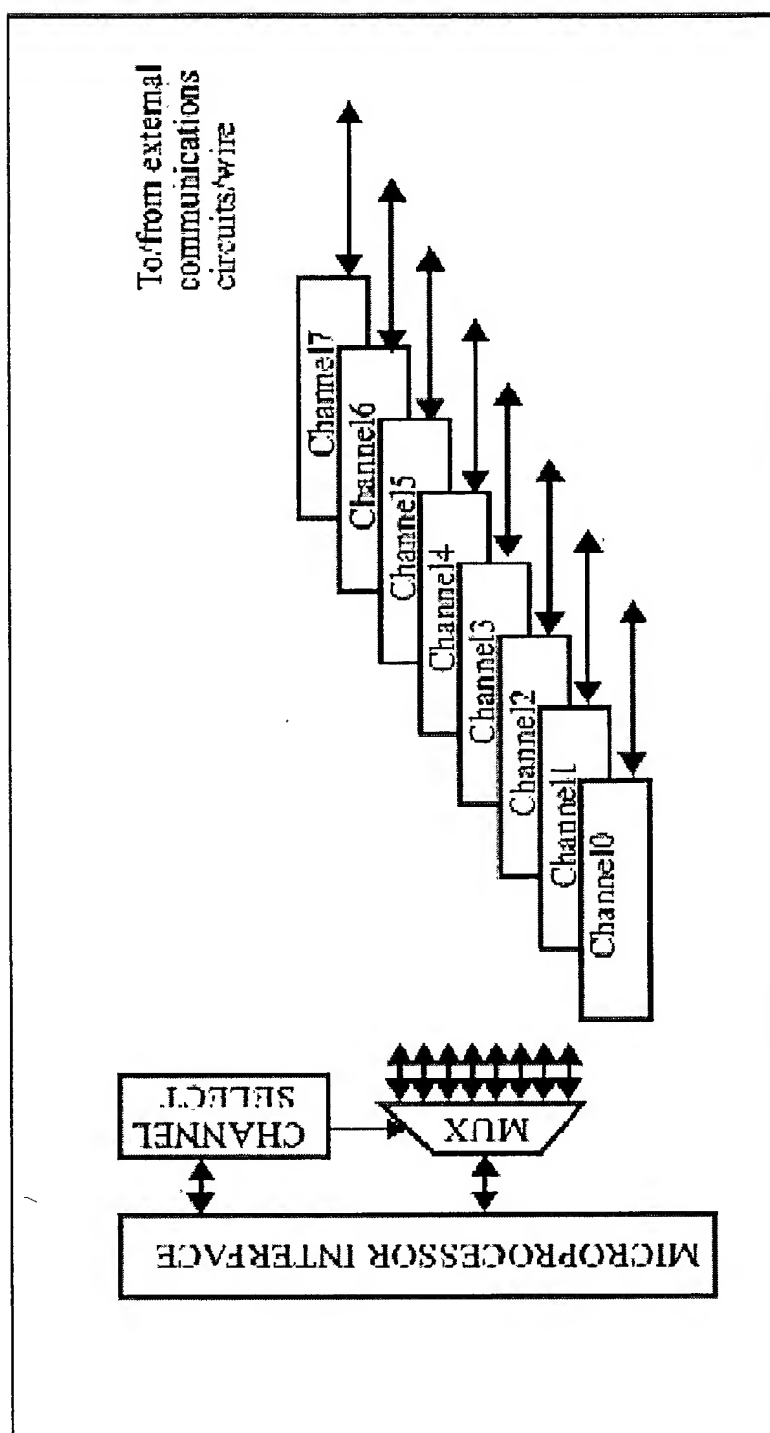


Fig. 5

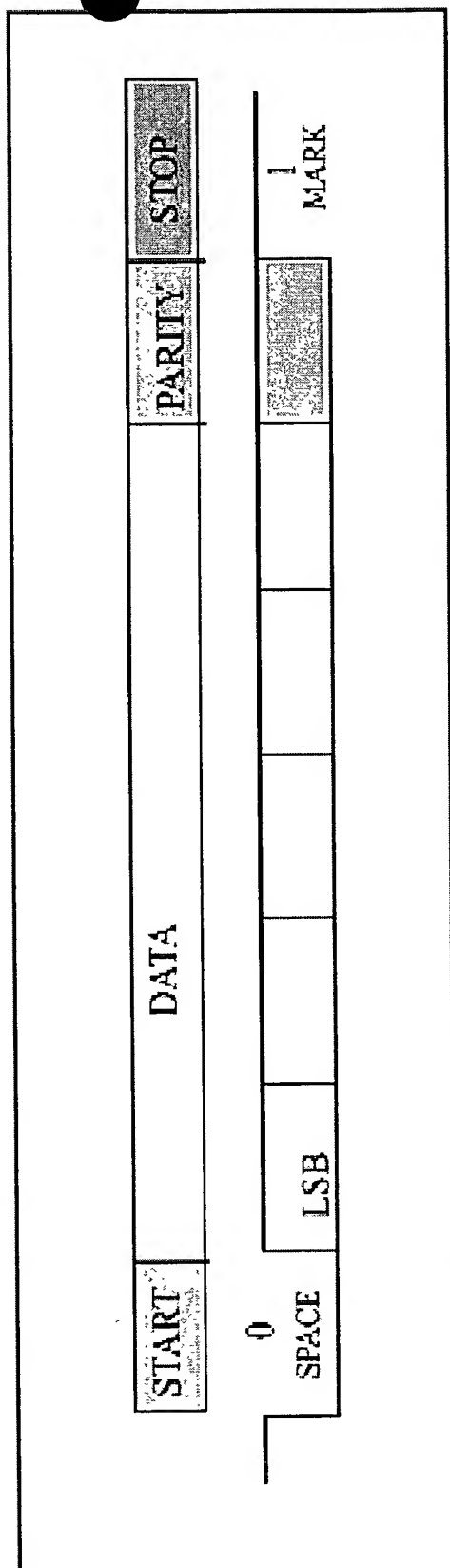


Fig. 6

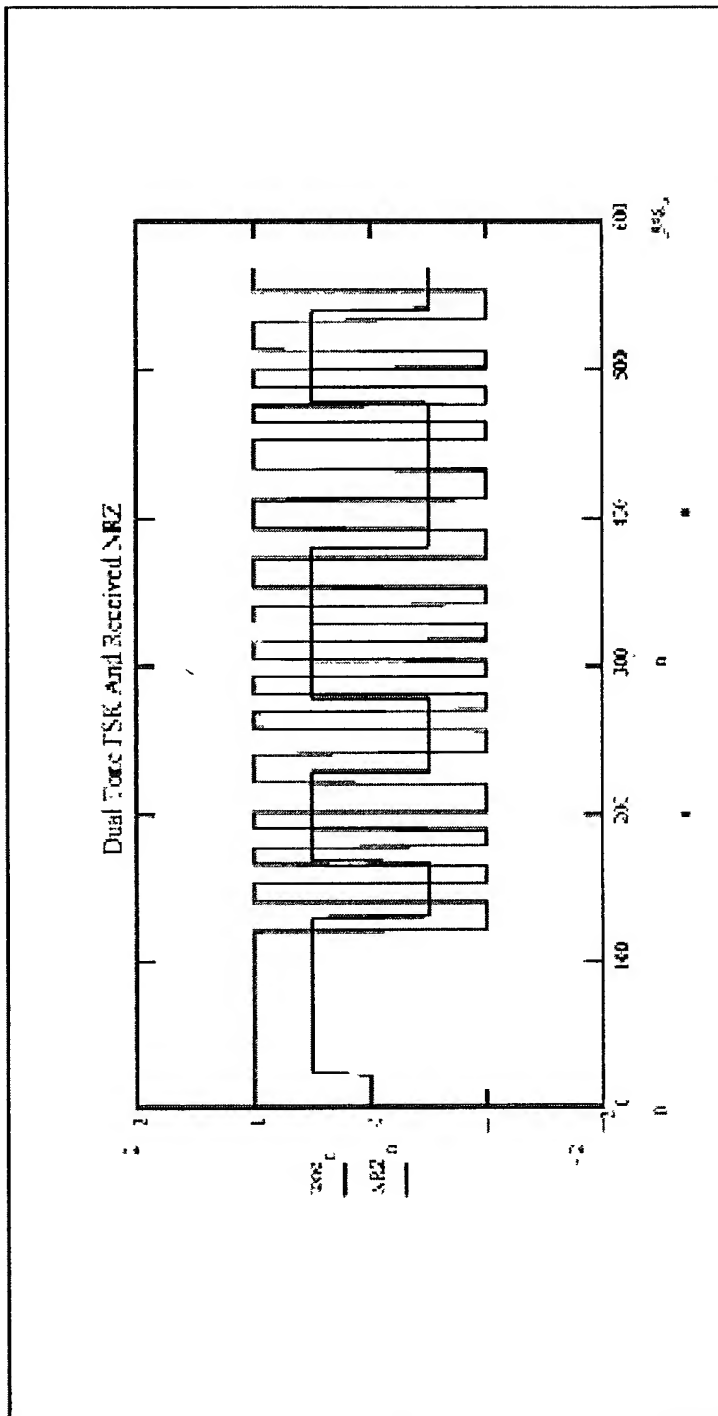


Fig. 7

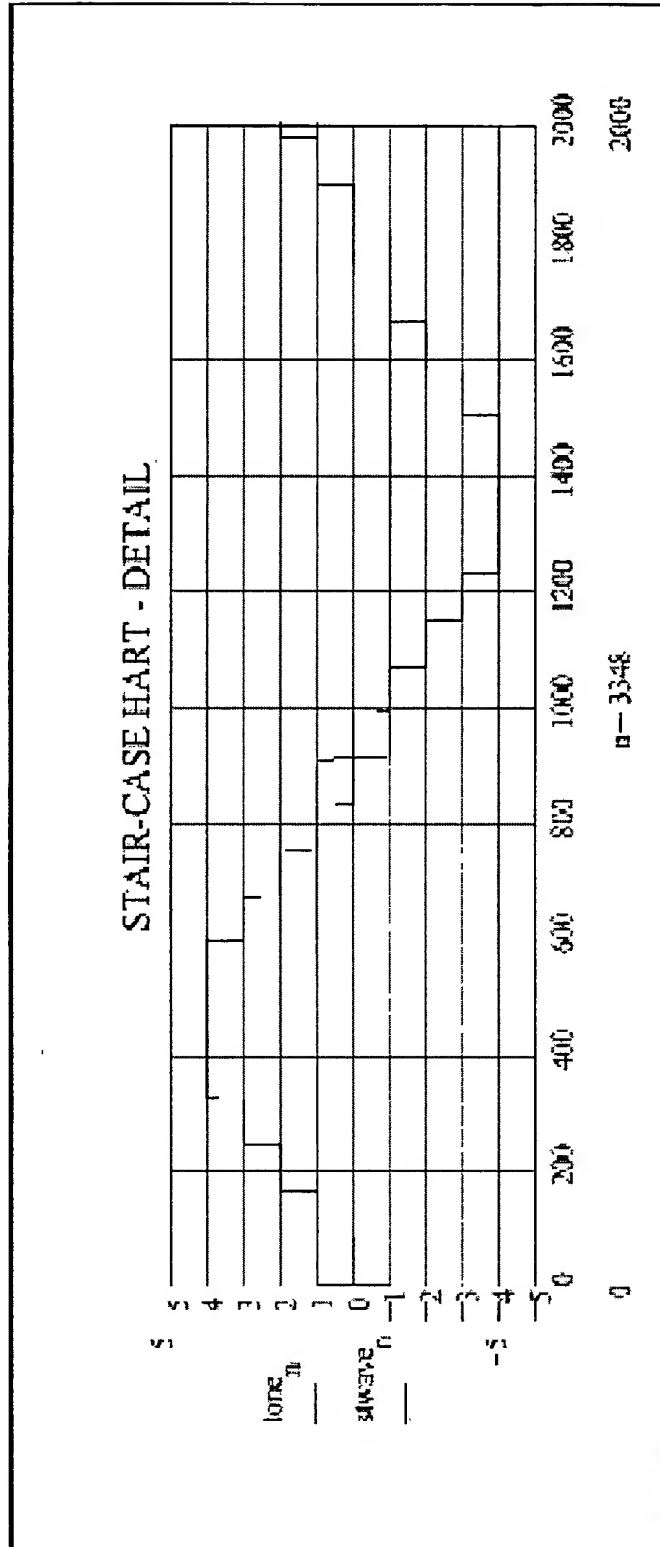


Fig. 8

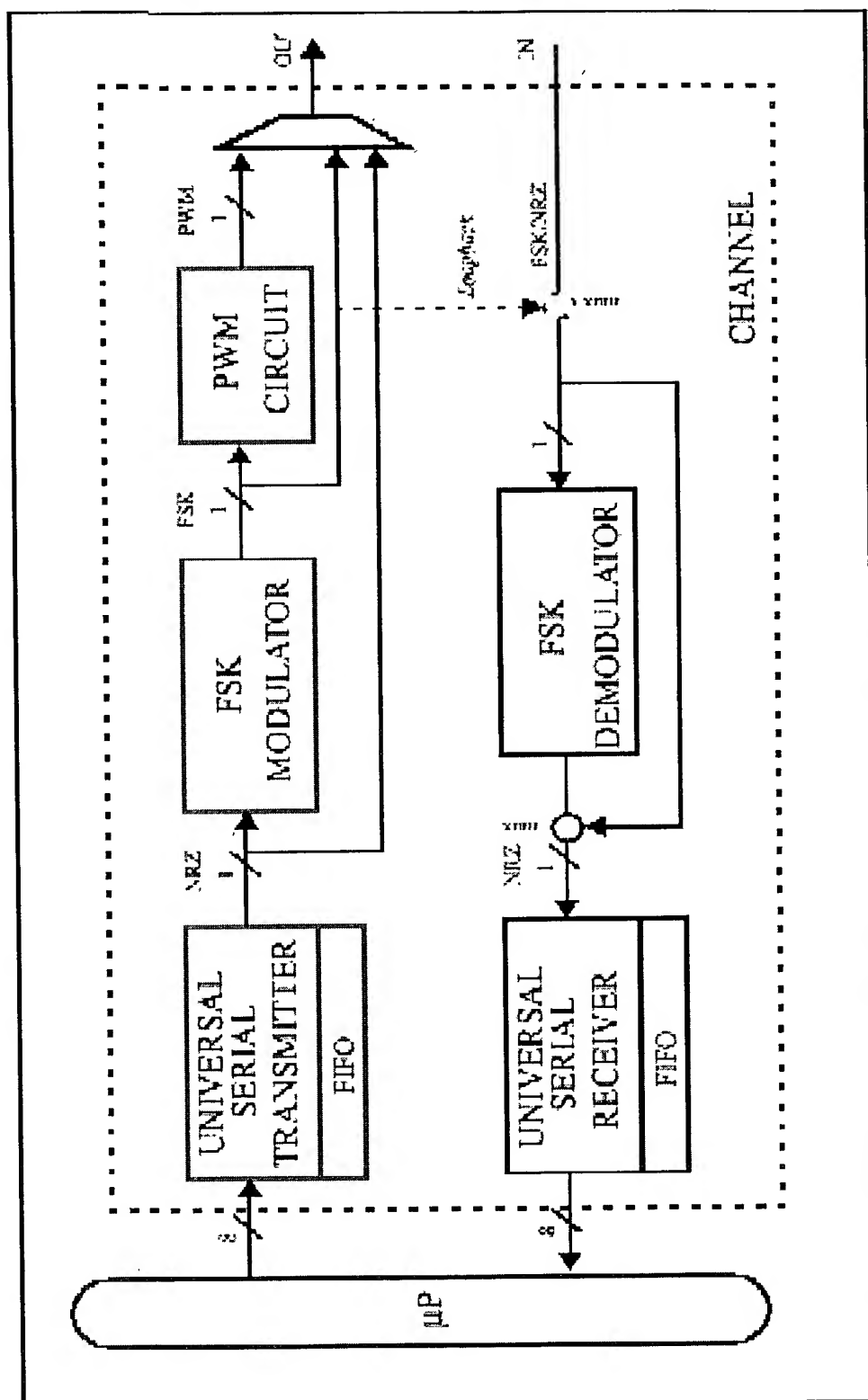


Fig. 9

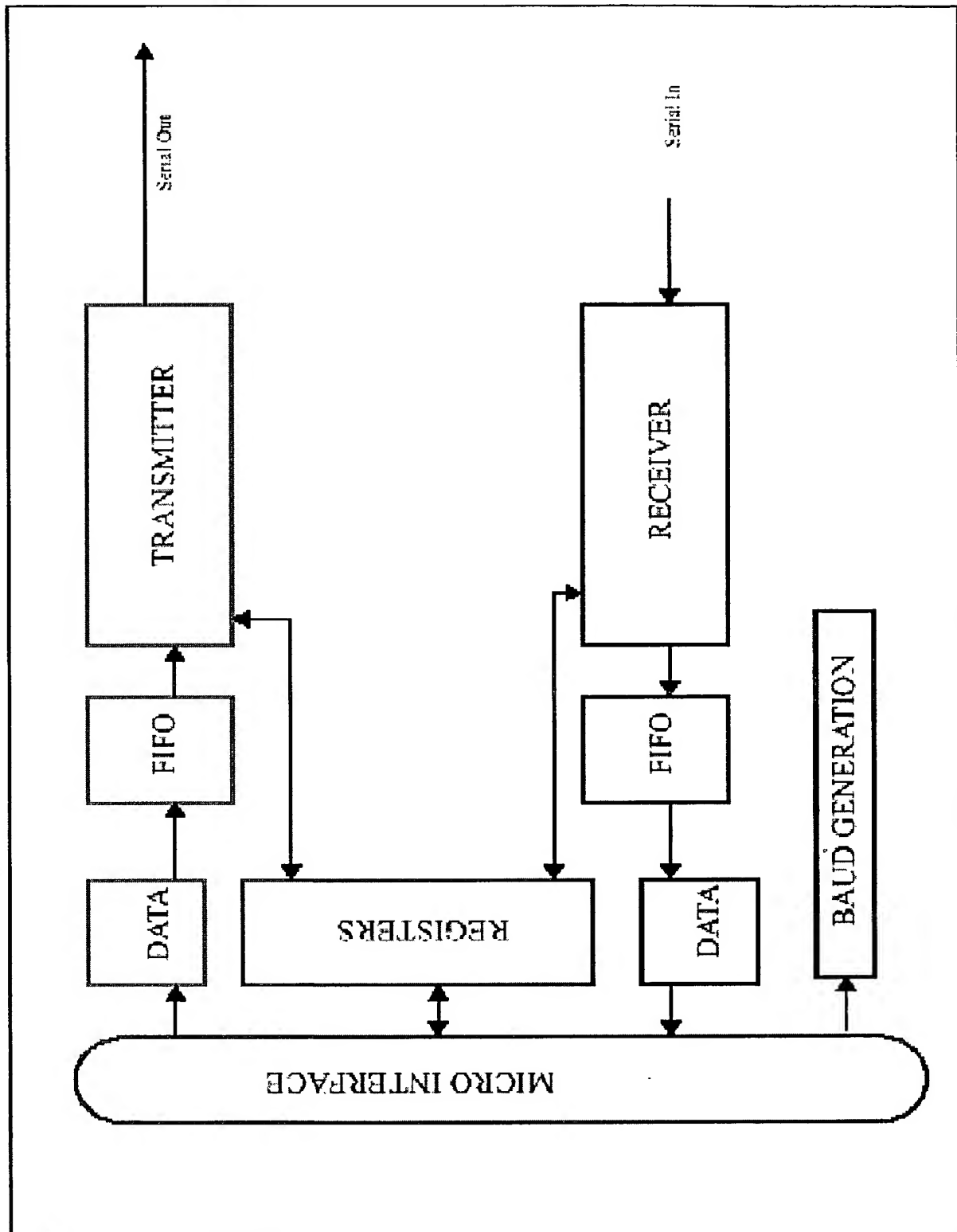


Fig. 10

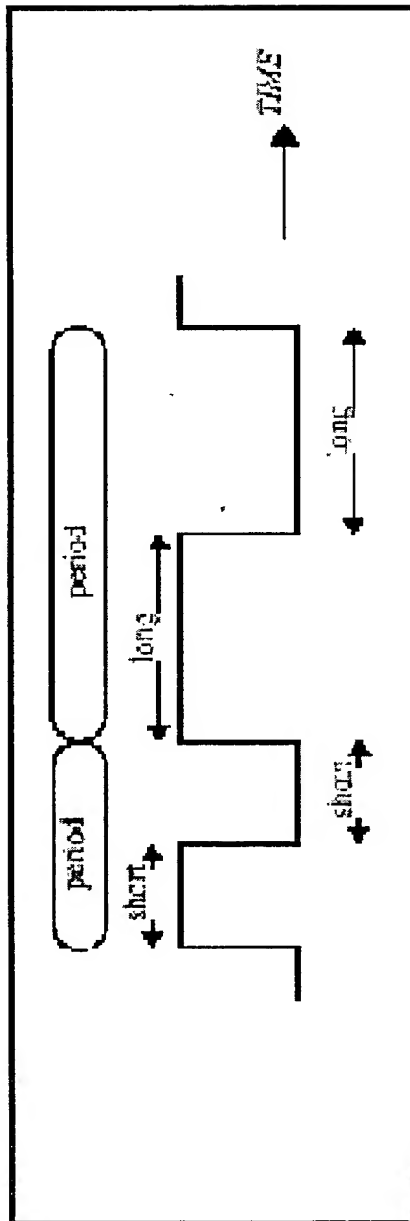


Fig. 11

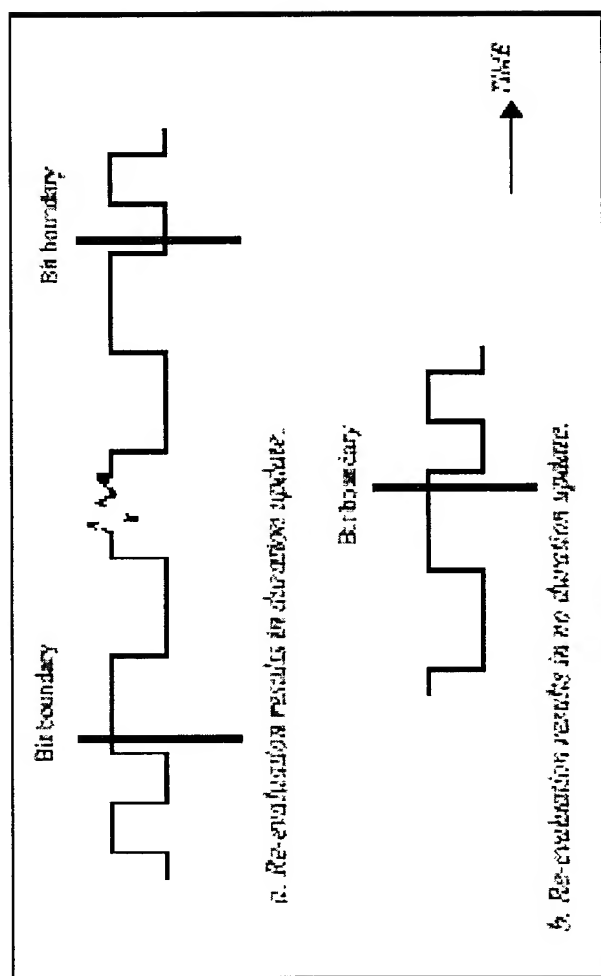


Fig. 12

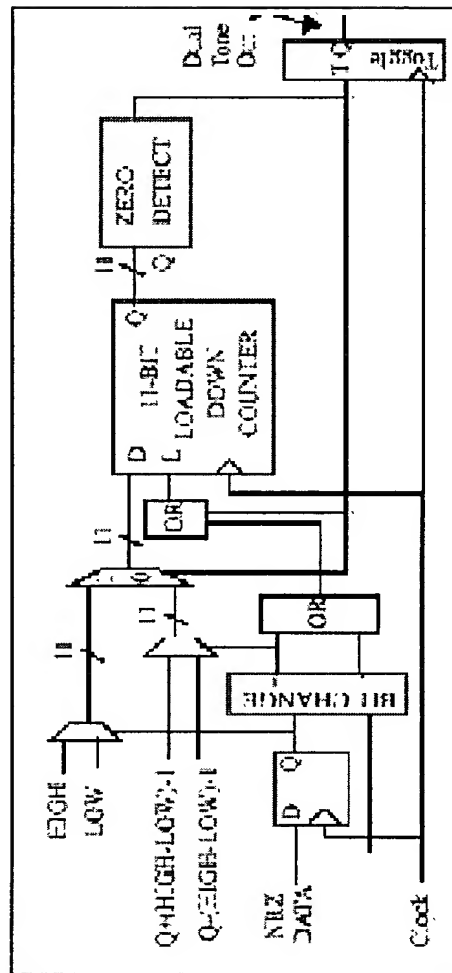


Fig. 13

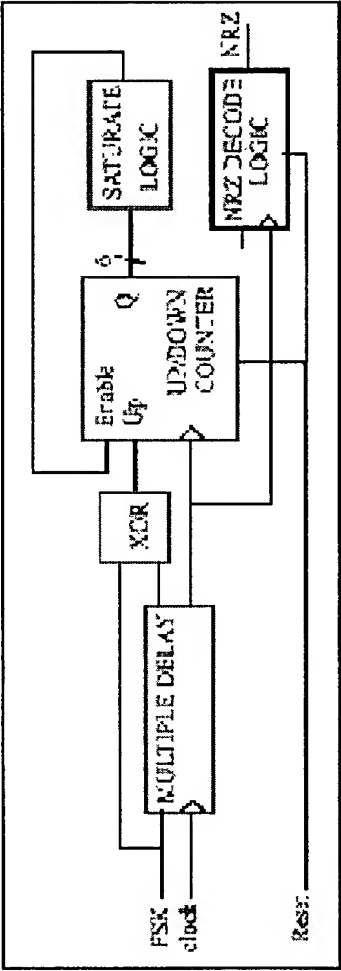


Fig. 14

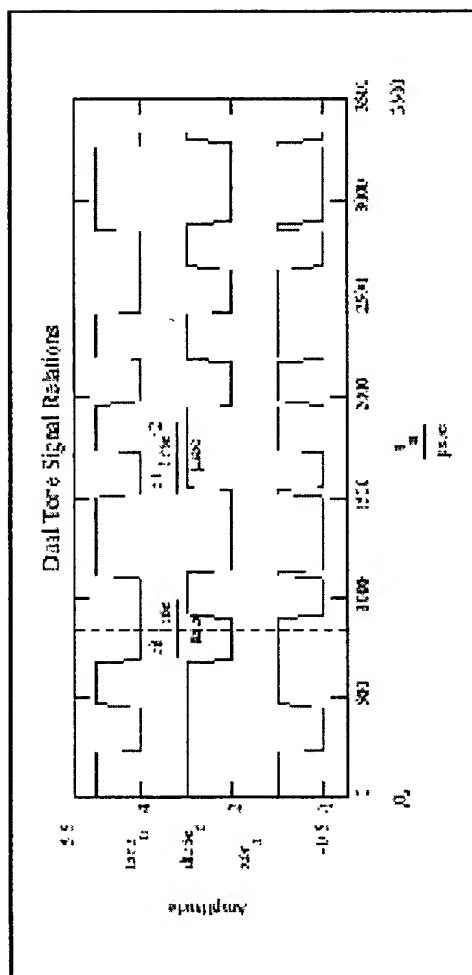


Fig. 15

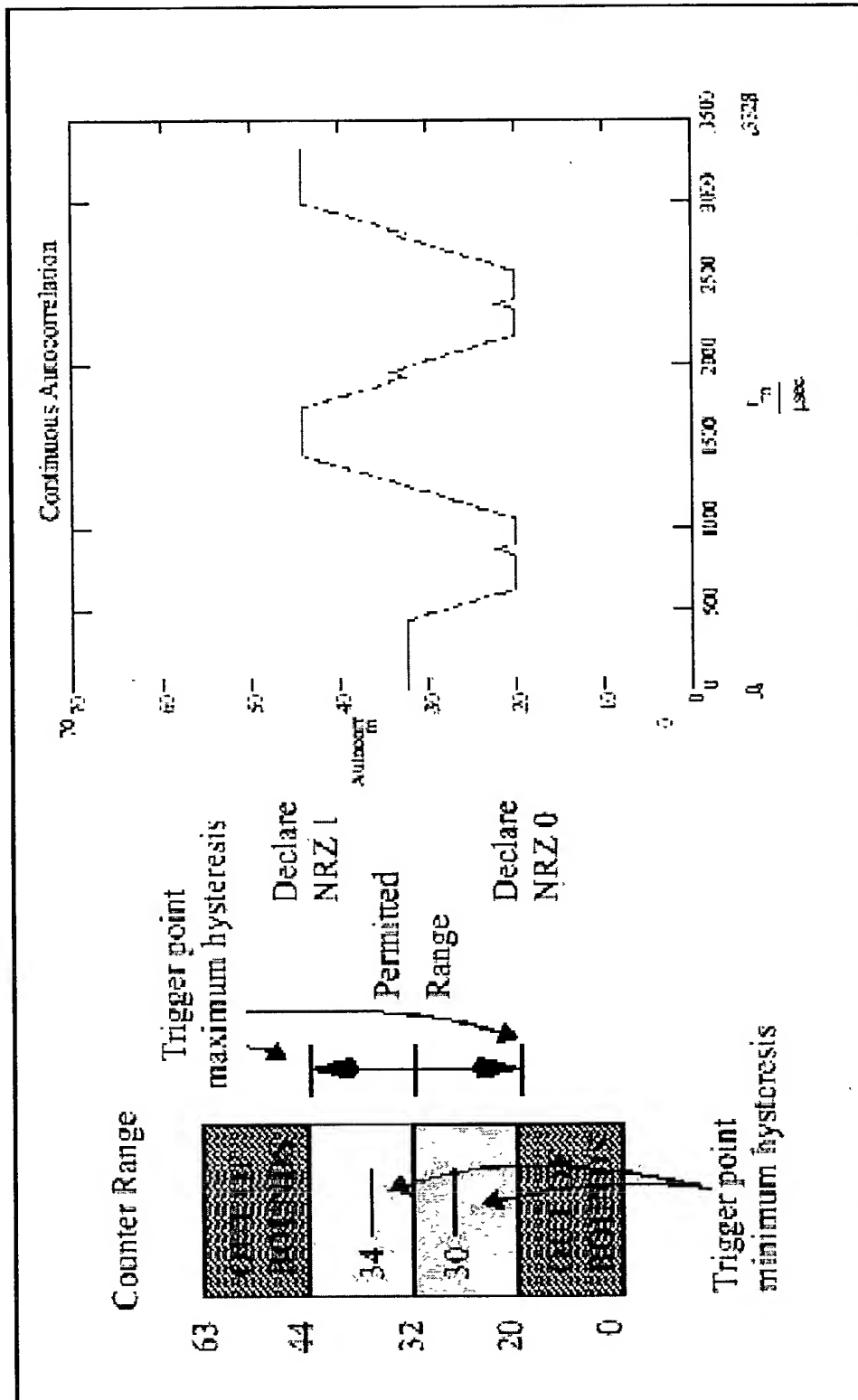
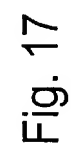


Fig. 16



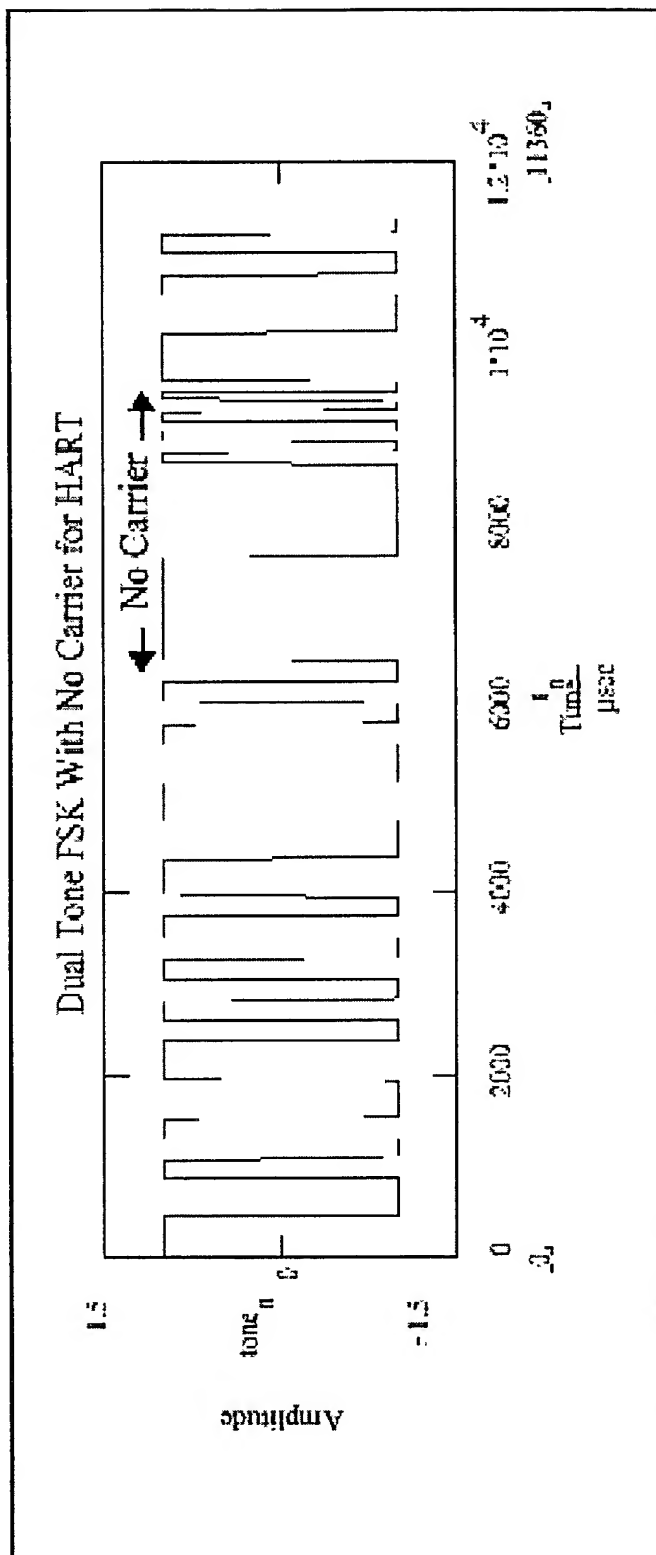


Fig. 18

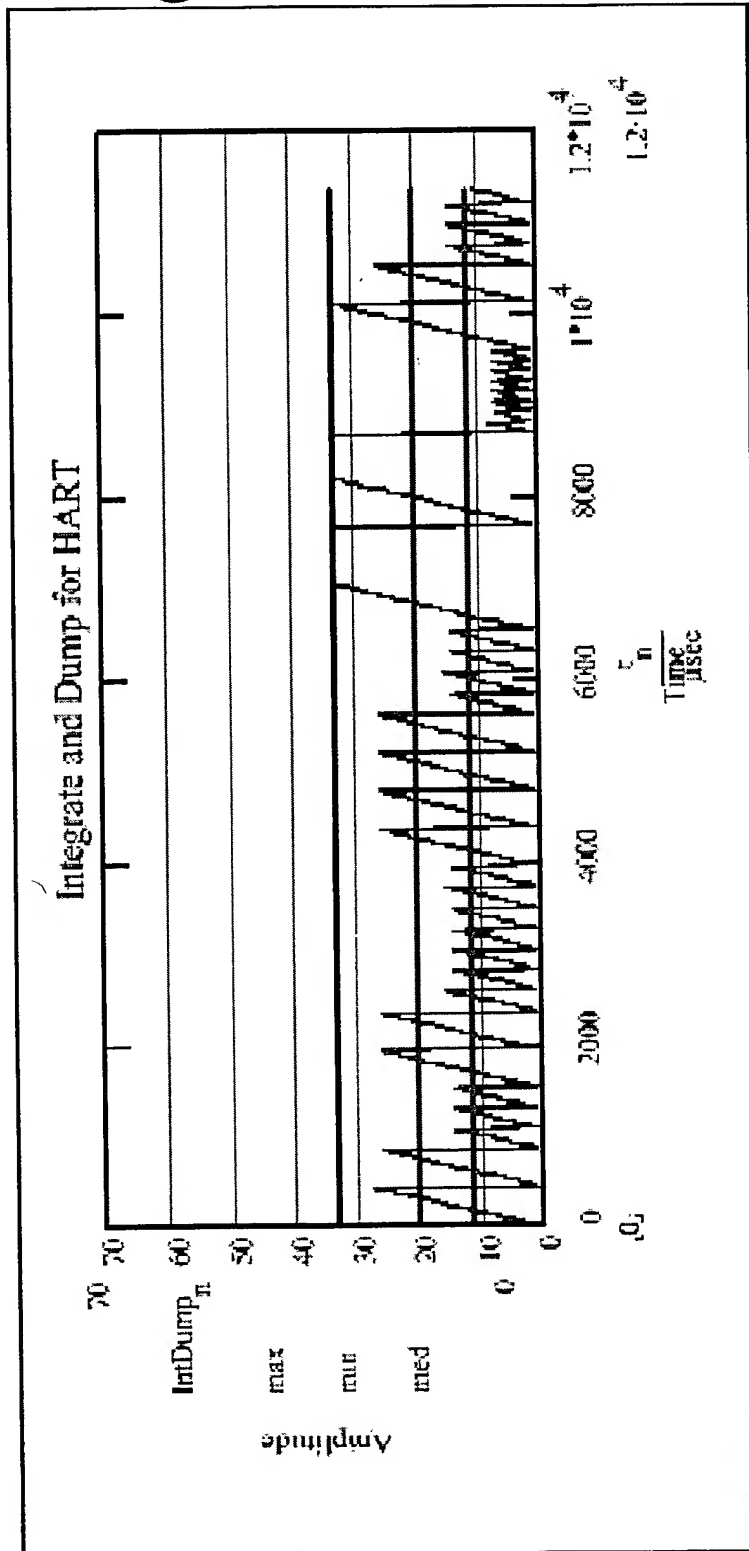
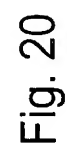


Fig. 19



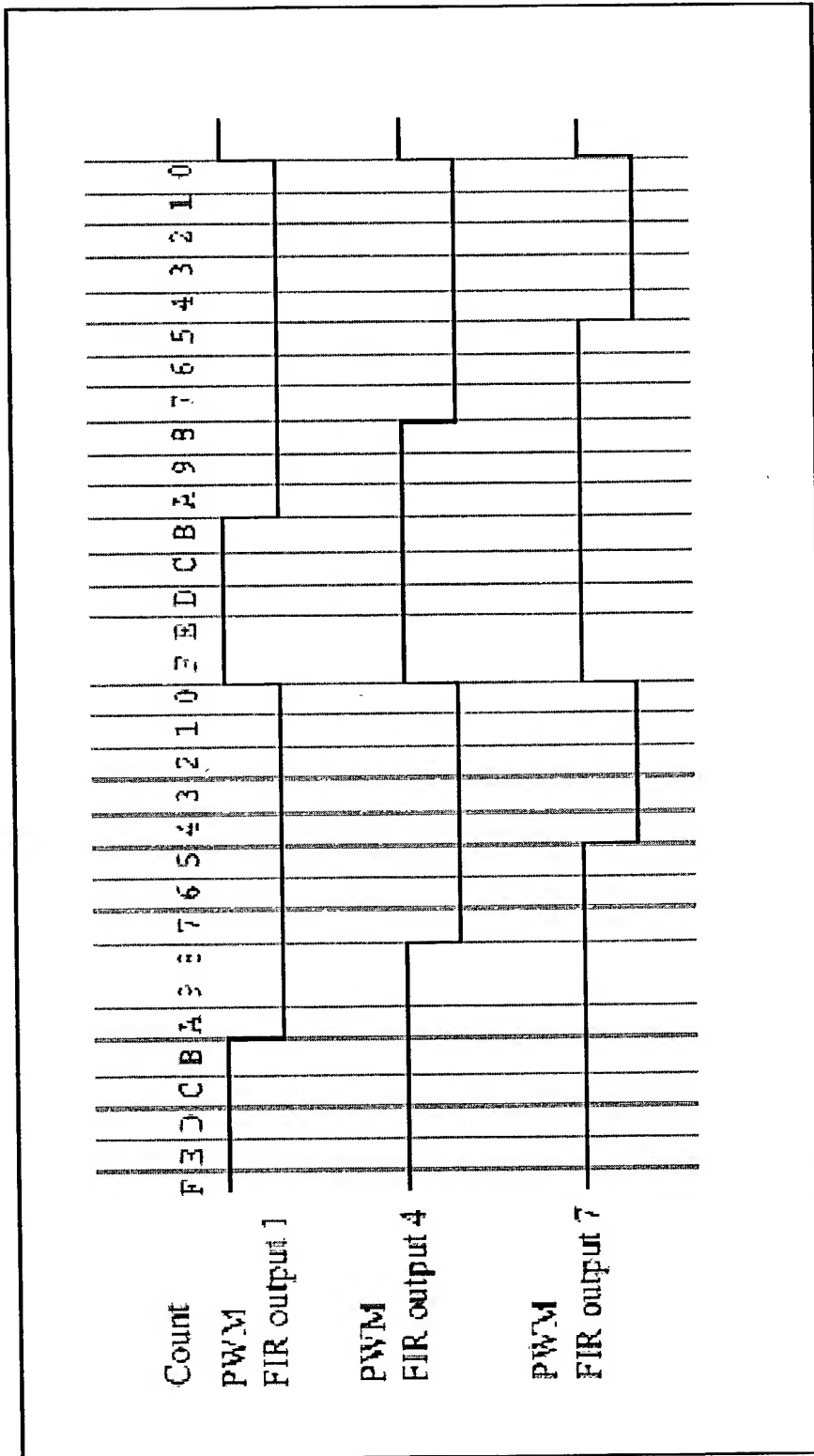


Fig. 21

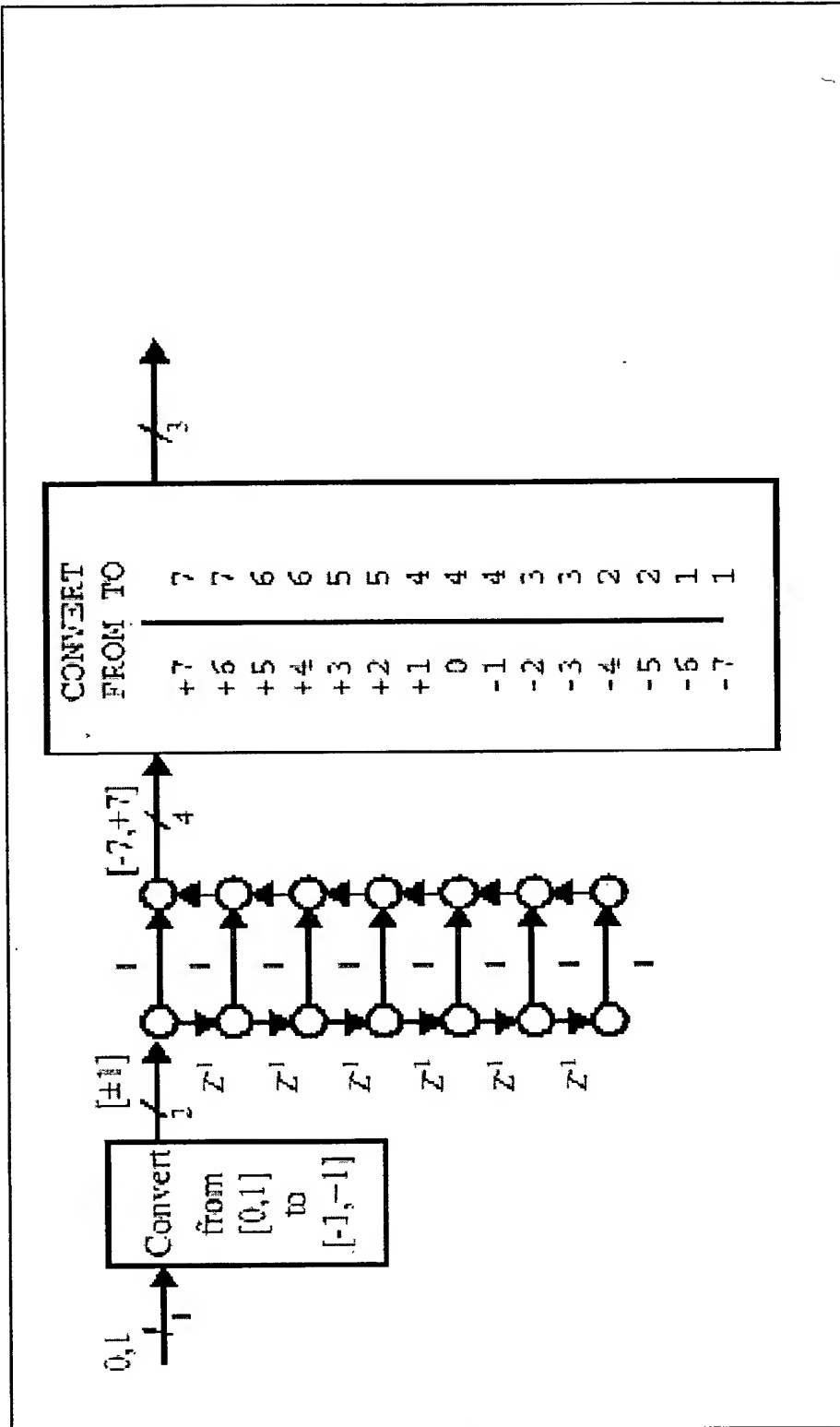


Fig. 22

Trapezoidal Approx vs. HART Bounds

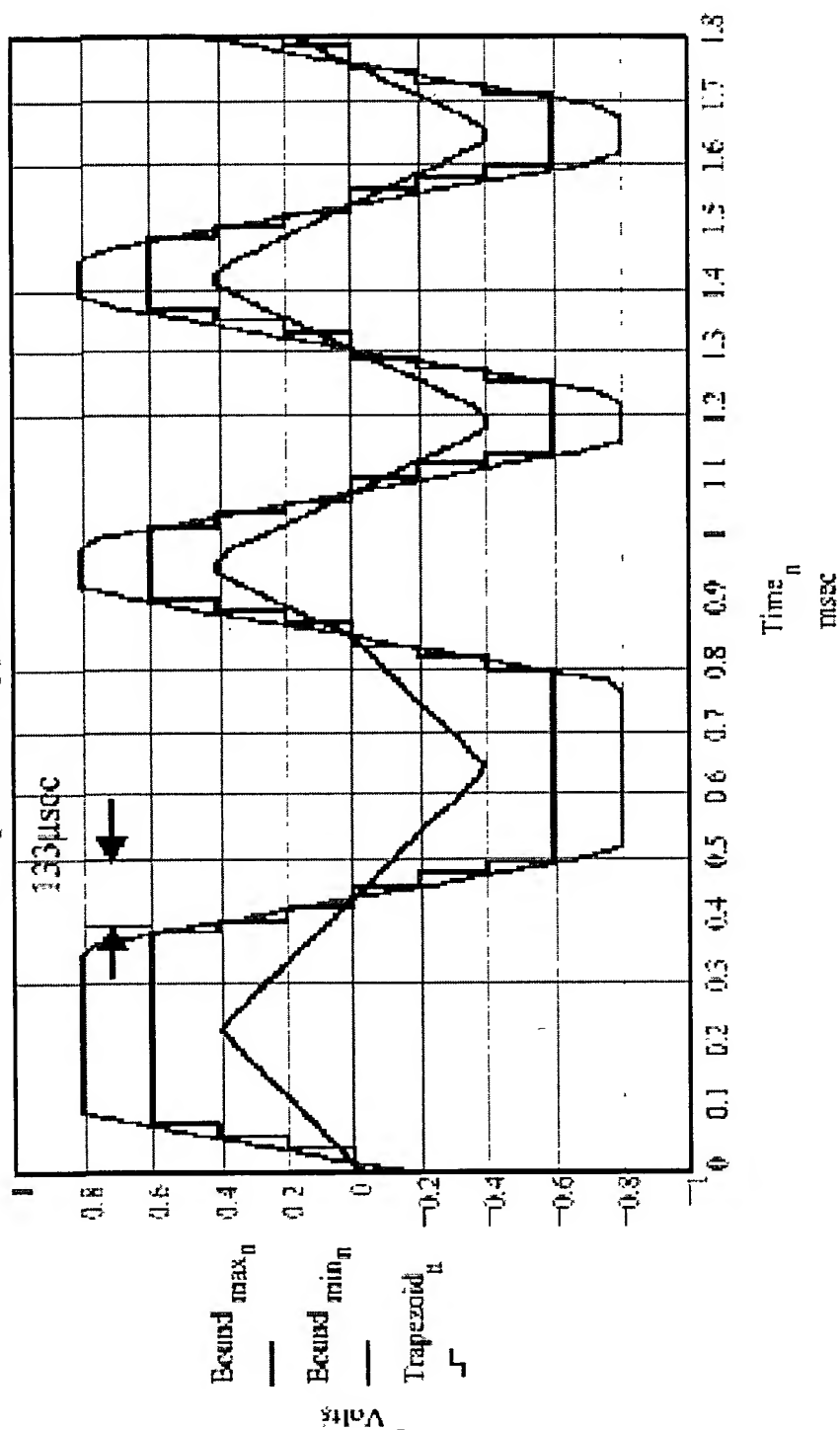
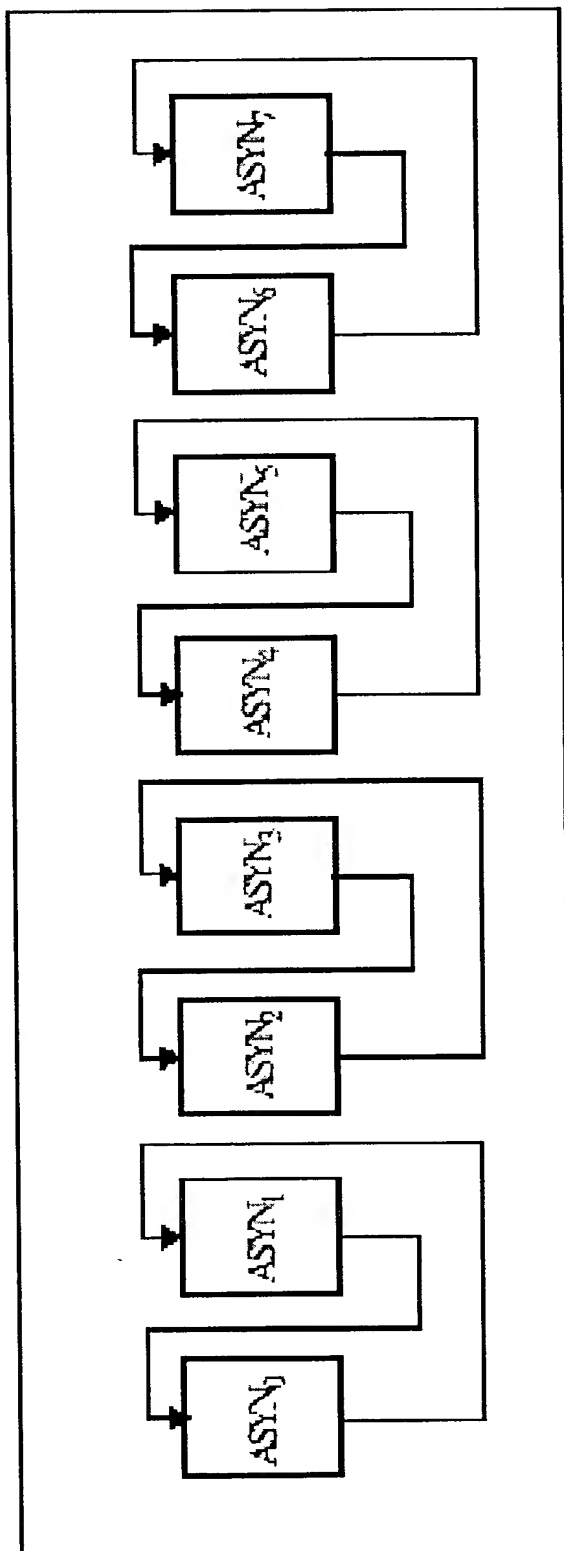


Fig. 23



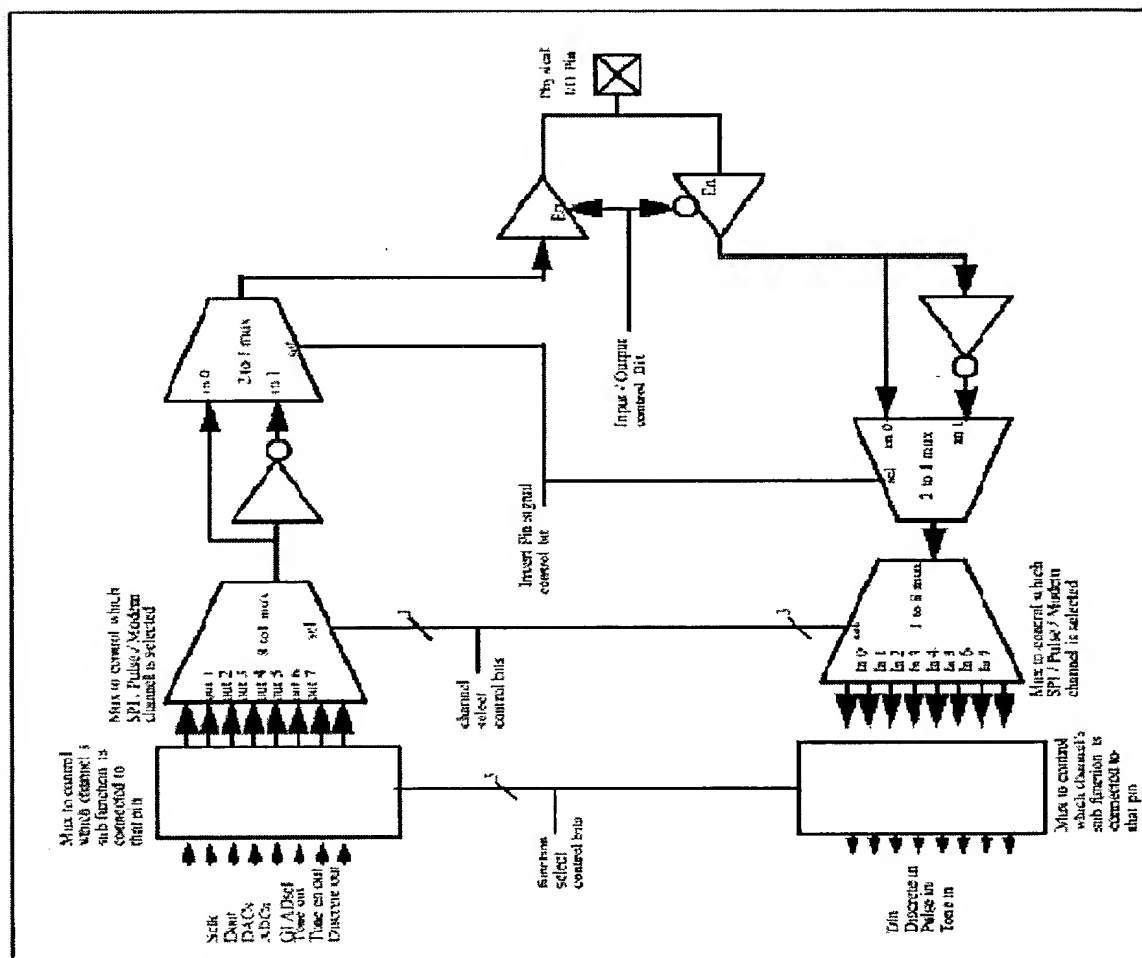


Fig. 25

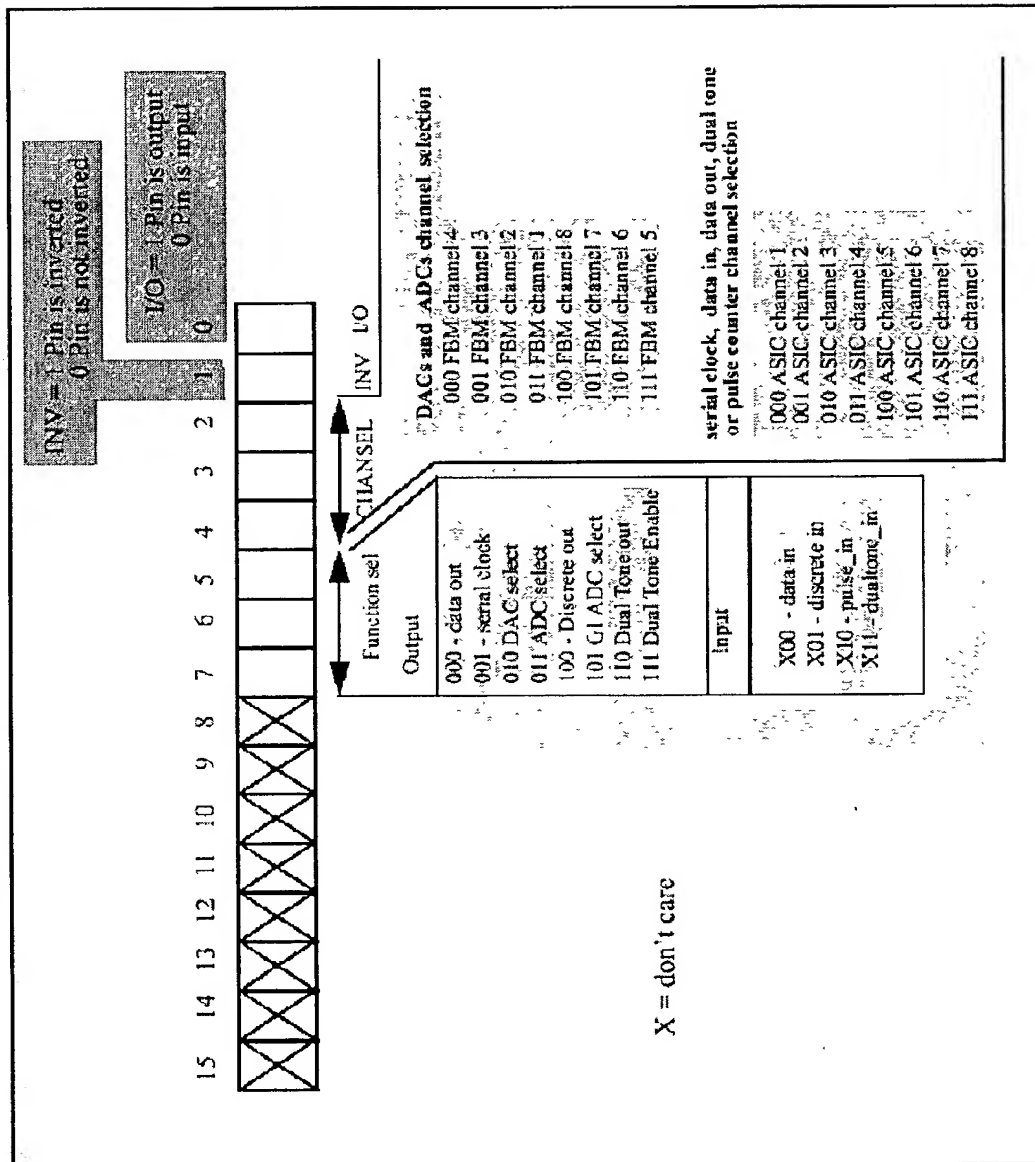


Fig. 26

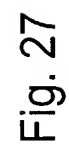


Fig. 27